

13. Polya - Abzählung

13.1. Motivation:

(n, r) - Halsketten (engl. "necklaces")

= Äquivalenzklassen von Färbungen
des zyklischen Graphen C_n mit
 r Farben unter Rotation

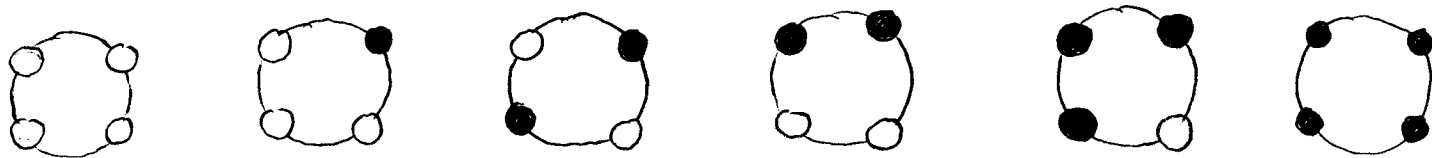
~ und

(n, r) - Armbetten (engl. "bracelets")

= Äquivalenzklassen von Färbungen
des zyklischen Graphen C_n mit
 r Farben unter Rotation und Spiegelung

~ FRAGE: Gegeben n, r . Wieviele (n, r) -Halsketten
und wieviele (n, r) -Armbetten gibt
es dann?

Beispiel: $n = 4, r = 2$



Es gibt 6 $(4, 2)$ -Halsketten und
6 $(4, 2)$ -Armbetten.

Diese und ähnliche Fragen können wir mit der Polya Theorie behandeln.

13-2

13.2. Def.: Die endliche Gruppe G operiere von links auf der endlichen Menge X mit $|X| = n$. Für $g \in G$ sei

$$\varepsilon(g) = (c_1(g), \dots, c_n(g))$$

der Zykeltyp von g auf X , d. h. für $i = 1, \dots, n$

$$c_i(g) := |\{g \cdot x \in \langle g \rangle \setminus X \mid |\langle g \rangle \cdot x| = i\}|.$$

Wir betrachten den Polynomring $\mathbb{Q}[X_1, \dots, X_n]$.

Das Polynom

$$Z_{G, X}(X_1, \dots, X_n) := \frac{1}{|G|} \sum_{g \in G} X_1^{c_1(g)} X_2^{c_2(g)} \dots X_n^{c_n(g)}$$

heißt der Zykelreizer von G auf X .

Wir erinnern uns:

- Eine Operation von G auf X ist eine Abbildung $G \times X \rightarrow X$ mit (i) $\forall x \in X: 1_G x = x$
(ii) $\forall x \in X \forall g, h \in G: (gh)x = g(hx)$
- $Gx := \{gx \mid g \in G\} \subseteq X$ heißt Bahn von x unter G .
- $G \setminus X := \{Gx \mid x \in X\}$

13.3. Beispiele:

(a) Die symmetrische Gruppe S_n operiert kanonisch auf $[n] = \{1, \dots, n\}$. In Zykelschreibweise gilt

$$\text{z.B. } S_3 = \{(1)(2)(3), (12)(3), (13)(2), (23)(1), (123), (132)\}.$$

$$\Rightarrow Z_{S_3, [3]}(X_1, X_2, X_3) = \frac{1}{6} (X_1^3 + 3X_1X_2 + 2X_3)$$

(b) Mit S_n operiert auch jede Untergruppe von S_n auf $[n]$.

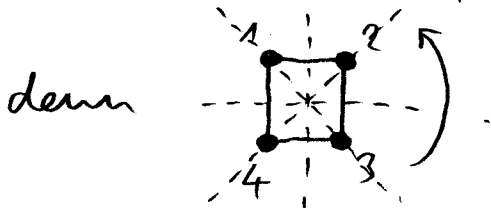
$$G = \langle (1234) \rangle (\cong \mathbb{Z}/4\mathbb{Z})$$

$$= \{(1234), (13)(24), (1432), (1)(2)(3)(4)\}$$

$$\Rightarrow Z_{G, [4]}(X_1, X_2, X_3, X_4) = \frac{1}{4} (X_1^4 + X_2^2 + 2X_4)$$

(c) Die Diedergruppe $D_n = \text{Aut}(C_n) \subset S_n$ gibt

$$D_4 = \{(1)(2)(3)(4), (1234), (13)(24), (1432), (12)(34), (14)(23), (1)(3)(24), (2)(4)(13)\}$$



$$\Rightarrow Z_{D_4, [4]}(X_1, X_2, X_3, X_4) = \frac{1}{8} (X_1^4 + 2X_1^2X_2 + 3X_2^2 + 2X_4)$$

Beachte: Allgemein gilt $|D_n| = 2n$.

13.4. Bemerkung:

(a) Ordnen wir X_i den Grad i zu, dann hat jedes Monom von $Z_{G, X}$ Grad n , denn

$$\sum_{i=1}^n i c_i(g) = n \quad \forall g \in G.$$

(b) Ist Y eine endliche Menge mit $|Y| = r$, dann operiert G auch auf

$$\sim \text{Abb}(X, Y) := \{F: X \rightarrow Y\}$$

durch $(gF)(x) := F(g^{-1}x)$. Beachte, dass

$$\begin{aligned} ((g h)F)(x) &= F((g h)^{-1}x) \\ &= F(h^{-1}(g^{-1}x)) \\ &= (g(hF))(x) \end{aligned}$$

\sim Nun können wir den zentralen Satz dieses Kapitels formulieren:

13.5. Satz (Polya, 1937):

Die endliche Gruppe G operiere von links auf der endlichen Menge X mit $|X| = n$. Weiter sei Y eine endliche Menge $Y = \{Y_1, \dots, Y_r\}$. Wir setzen

$\mathcal{F} := \text{Abb}(X, Y)$ und für $\underline{a} = (a_1, \dots, a_r) \in \mathbb{N}_0^r$ mit $w(\underline{a}) := \sum_{j=1}^r a_j = n$ definieren wir

$$\mathcal{F}(\underline{a}) := \{F \in \mathcal{F} \mid \forall j=1, \dots, r: |F^{-1}(\{y_j\})| = a_j\}, \quad \boxed{13-5}$$

Damit gilt $\mathcal{F} = \bigcup_{w(\underline{a})=n} \mathcal{F}(\underline{a})$, wobei jedes

$\mathcal{F}(\underline{a})$ stabil unter der Operation von G ist, d.h. $\mathcal{F}(\underline{a})$ ist disjunkte Vereinigung von Bahnen von G auf \mathcal{F} .

Im Polynomring $\mathbb{Q}[Y_1, \dots, Y_r]$ gilt dann

$$\sim Z_{G, X} \left(\sum_{j=1}^r Y_j, \sum_{j=1}^r Y_j^2, \dots, \sum_{j=1}^r Y_j^n \right)$$

$$= \sum_{\substack{\underline{a} \in \mathbb{N}_0^r \\ w(\underline{a})=n}} |G \backslash \mathcal{F}(\underline{a})| Y_1^{a_1} Y_2^{a_2} \dots Y_r^{a_r}.$$

Beispiel: $Y = \{s, w\}$, d.h. $r=2$, $X = [4]$, d.h. $n=4$

$$\bullet \sim Z_{D_4, [4]} (Y_1 + Y_2, Y_1^2 + Y_2^2, Y_1^3 + Y_2^3, Y_1^4 + Y_2^4)$$

$$\stackrel{13.3(c)}{=} \frac{1}{8} \left((Y_1 + Y_2)^4 + 2(Y_1 + Y_2)^2(Y_1^2 + Y_2^2) + 3(Y_1^2 + Y_2^2)^2 + 2(Y_1^4 + Y_2^4) \right)$$

= ...

$$= Y_1^4 + Y_1^3 Y_2 + 2 Y_1^2 Y_2^2 + Y_1 Y_2^3 + Y_2^4$$

\Rightarrow Es gibt 6 $(4, 2)$ -Armbetten.

$$\begin{aligned} & \bullet Z_{\langle (1234) \rangle, [4]} (Y_1 + Y_2, Y_1^2 + Y_2^2, Y_1^3 + Y_2^3, Y_1^4 + Y_2^4) \\ & \stackrel{13.3(e)}{=} \frac{1}{4} \left((Y_1 + Y_2)^4 + (Y_1^2 + Y_2^2)^2 + 2(Y_1^4 + Y_2^4) \right) \\ & = \dots \\ & = Y_1^4 + Y_1^3 Y_2 + 2Y_1^2 Y_2^2 + Y_1 Y_2^3 + Y_2^4 \end{aligned}$$

\Rightarrow Es gibt 6 (4,2)-Halbketten.

Der Beweis des Satzes von Polya beruht
 wesentlich auf dem Burnside-Lemma:

13.6. Satz (Burnside-Lemma):

Die endliche Gruppe G operiere von links auf der endlichen Menge X . Dann gilt

$$|G \backslash X| = \frac{1}{|G|} \cdot \sum_{g \in G} |\text{Fix}_X(g)|$$

wobei $\text{Fix}_X(g)$ die Menge der Fixpunkte von $g \in G$ bezeichnet, d. h.

$$\text{Fix}_X(g) := \{x \in X \mid gx = x\}.$$

Beweis: Nach dem Satz von Lagrange gilt

$$(*) \quad |G| = |\text{Stab}_G(x)| \cdot |Gx|, \quad (\forall x \in X)$$

wobei $\text{Stab}_G(x) := \{g \in G \mid gx = x\}$.

Betrachte nun $S := \{(g, x) \in G \times X \mid gx = x\}$. 13-7

Methode der doppelten Abzählung:

$$|S| = \sum_{g \in G} |\text{Fix}_X(g)| \text{ und andererseits}$$

$$|S| = \sum_{x \in X} |\text{Stab}_G(x)|$$

$$\stackrel{(*)}{=} |G| \cdot \underbrace{\sum_{x \in X} \frac{1}{|Gx|}} = |G| \cdot |G \backslash X|$$

$$= \sum_{Gx \in G \backslash X} \sum_{y \in Gx} \underbrace{\frac{1}{|Gy|}}_{= \frac{1}{|Gx|}} = |G \backslash X|$$

$$X = \dot{\bigcup}_{Gx \in G \backslash X} Gx$$

= 1

□

13.7. Satz: In der Situation von Satz 13.5 ist die Zahl der Bahnen von G auf $\text{Abb}(X, Y)$ gegeben durch

$$Z_{G, X}(r_1, \dots, r_n) = \frac{1}{|G|} \cdot \sum_{g \in G} r_1^{c_1(g)} + \dots + r_n^{c_n(g)}$$

Beweis: Nach dem Lemma von Burnside ist

$$|G \backslash \text{Abb}(X, Y)| = \frac{1}{|G|} \cdot \sum_{g \in G} |\text{Fix}_{\text{Abb}(X, Y)}(g)|$$

Für $F \in \text{Abb}(X, Y)$ gilt nun:

13-8

$$F \in \text{Fix}_{\text{Abb}(X, Y)}(g)$$

$$\Leftrightarrow F(g^{-1}x) = F(x) \quad \forall x \in X$$

$\Leftrightarrow F$ ist konstant auf jeder Bahn $\langle g \rangle x \in \langle g \rangle \setminus X$

Hat g den Zykeltyp $\subseteq(g) = (c_1(g), \dots, c_n(g))$,
dann gibt es genau $c_1(g) + \dots + c_n(g)$
viele Bahnen. Also:

$$\begin{aligned} |\text{Fix}_{\text{Abb}(X, Y)}(g)| &= r \cdot |\langle g \rangle \setminus X| \\ &= r \cdot (c_1(g) + \dots + c_n(g)) \end{aligned}$$

$$\Rightarrow |G \setminus \text{Abb}(X, Y)| = Z_{G, X}(r, \dots, r)$$

□

Die Gesamtzahl aller Bahnen von G auf $\text{Abb}(X, Y) = F$ lässt sich also noch ohne den Satz von Polya bestimmen. Dieser erlaubt allerdings zusätzlich, die Anzahl der Bahnen in jedem $F(a)$ zu bestimmen!

Beispiel: • $Z_{D_4, [4]}(2, 2, 2, 2) = 6$

• $Z_{\langle (1234) \rangle, [4]}(2, 2, 2, 2) = 6$

$$Z_{G, X} \left(\sum_{j=1}^r y_j, \dots, \sum_{j=1}^r y_j^n \right)$$

$$= \frac{1}{|G|} \sum_{g \in G} \prod_{i=1}^n \left(\sum_{j=1}^r y_j^i \right)^{c_i(g)}$$

$$\stackrel{!}{=} \sum_{\underline{a} \in \mathbb{N}_0^r} \phi(\underline{a}) y_1^{a_1} y_2^{a_2} \dots y_r^{a_r}$$

$\sim w(\underline{a}) = n$

mit irgendwelchen Koeffizienten $\phi(\underline{a})$. Diese Darstellung ist möglich, da nach Bem. 13.4 (a)

$$\sum_{i=1}^n i c_i(g) = n.$$

Für $g \in G$ gilt nun

$$\sim \prod_{i=1}^n \left(\sum_{j=1}^r y_j^i \right)^{c_i(g)} = \prod_{C \in \langle g \rangle \setminus X} \left(\sum_{j=1}^r y_j^{|C|} \right)$$

$$= \sum_{\alpha: \langle g \rangle \setminus X \rightarrow [r]} \prod_{C \in \langle g \rangle \setminus X} y_{\alpha(C)}^{|C|}$$

$$= \sum_{\alpha: \langle g \rangle \setminus X \rightarrow [r]} \prod_{j=1}^r y_j^{\left(\sum_{C \in \alpha^{-1}(\{j\})} |C| \right)}$$

$\hookrightarrow a_j$

und damit für $\underline{a} \in \mathbb{N}_0^r$ mit $w(\underline{a}) = n$:

$$\phi(\underline{a}) = \frac{1}{|G|} \sum_{g \in G} \left[\begin{array}{l} \sum 1 \\ \alpha: \langle g \rangle \backslash X \rightarrow [r]: \\ \forall j: \sum_{C \in \alpha^{-1}(\{j\})} |C| = a_j \end{array} \right]$$

$$= |\text{Fix}_{\mathcal{F}(\underline{a})}(g)| \quad (*)$$

$$= \frac{1}{|G|} \sum_{g \in G} |\text{Fix}_{\mathcal{F}(\underline{a})}(g)|$$

$$= |G \setminus \mathcal{F}(\underline{a})| \quad \text{nach dem Burnside-Lemma (Satz 13.6)}$$

zu (*): Für $F: X \rightarrow Y$ gilt

$$F \in \text{Fix}_{\mathcal{F}(\underline{a})}(g)$$

$$\iff \textcircled{1} \forall j=1, \dots, r: |F^{-1}(\{y_j\})| = a_j$$

$$\textcircled{2} F(g^{-1}x) = F(x) \quad \forall x \in X$$

$$\iff \textcircled{1} \forall j=1, \dots, r: |F^{-1}(\{y_j\})| = a_j$$

$$\textcircled{2} F \text{ ist konstant auf jedem } C \in \langle g \rangle \backslash X$$

Damit:

$$\left\{ \alpha: \langle g \rangle \backslash X \rightarrow [r] \mid \forall j: \sum_{C \in \alpha^{-1}(\{j\})} |C| = a_j \right\} \xrightarrow{1:1} \text{Fix}_{\mathcal{F}(\underline{a})}(g)$$

$$\alpha \mapsto F_\alpha \text{ mit } F_\alpha|_C \equiv y_j \quad \forall C \in \alpha^{-1}(\{j\}) \quad \square$$

13.8 Beispiel:

In S_n betrachten wir $\sigma = (1\ 2\ \dots\ n)$. Dann ist

$$Z_{\langle \sigma \rangle, [n]}(X_1, \dots, X_n) = \frac{1}{n} \sum_{d|n} \phi(d) X_d^{n/d},$$

wobei ϕ die Eulersche Funktion bezeichnet, d.h.

$$\phi(d) := |\{1 \leq k \leq d \mid \text{ggT}(d, k) = 1\}|.$$

(vgl. Beispiel 13.3 (b))

~ Die Anzahl der (n, r) -Halsketten mit genau a_j Perlen der Farbe $y_j, j = 1, \dots, r$ ist somit gegeben als Koeffizient vor

$$y_1^{a_1} \dots y_r^{a_r}$$

in
$$\frac{1}{n} \sum_{d|n} \phi(d) (y_1^d + \dots + y_r^d)^{n/d}.$$

~ Eine ähnliche Aussage l\$\$sst sich auch f\$\$r (n, r) -Armketten treffen, denn es gilt

$$Z_{D_n, [n]}(X_1, \dots, X_n) = \frac{1}{2} (Z_{\langle \sigma \rangle, [n]}(X_1, \dots, X_n) + X_1^2 X_2^{\frac{n-1}{2}}),$$

falls n ungerade ist, und

$$Z_{D_n, [n]}(X_1, \dots, X_n) = \frac{1}{2} Z_{\langle \sigma \rangle, [n]}(X_1, \dots, X_n) + \frac{1}{4} (X_2^{\frac{n}{2}} + X_1^2 X_2^{\frac{n-2}{2}}),$$

falls n gerade ist.

13.9. Beispiel:

Mit der Polya - Theorie können wir auch Isomorphieklassen von Graphen abzählen!

Ein einfacher Graph auf der Knotenmenge V ist bestimmt durch die Kantenmenge

$$E \subset \mathcal{P}_2(V) = \{2\text{-elementige Teilmengen von } V\}$$

oder äquivalent durch

$$\chi_E \in \text{Abb}(\mathcal{P}_2(V), \{0,1\}),$$

d. h. die charakteristische Funktion zu E .

S_k mit $k := |V|$ operiert auf $\mathcal{P}_2(V)$ durch

$$\sigma(\{v_i, v_j\}) := \{v_{\sigma(i)}, v_{\sigma(j)}\}. \quad (V = \{v_1, \dots, v_k\})$$

Es gilt nun

$$\begin{aligned} (V, E) \cong (V, E') &\iff \exists \sigma \in S_k : \sigma(E) = E' \\ &\iff \exists \sigma \in S_k : \sigma \chi_E = \chi_{E'} \end{aligned}$$

Um also die Anzahl der Isomorphieklassen

$$S_k \backslash \text{Abb}(\mathcal{P}_2(V), \{0,1\})$$

bestimmen zu können, brauchen wir

$$Z_{S_k, \mathcal{P}_2(V)}(X_1, \dots, X_n) \quad \text{mit} \quad n := \binom{k}{2} = |\mathcal{P}_2(V)|.$$

Beispiel: $k = |V| = 3$, $\sigma. B. d. A$ $V = \{1, 2, 3\}$ 13-13

$$\mathcal{P}_2(\{1, 2, 3\}) = \{ \{1, 2\}, \{1, 3\}, \{2, 3\} \}$$

$$S_3 = \{ (1)(2)(3), (12)(3), (13)(2), (23)(1), (123), (132) \}$$

3 Bahnen der
Länge 1

• 1 Bahn der Länge 1
• 1 Bahn der Länge 2

1 Bahn der
Länge 3

etwa $(123): \{1, 2\} \mapsto \{2, 3\} \mapsto \{1, 3\} \mapsto \{1, 2\}$

~ Damit:

$$Z_{S_3, \mathcal{P}_2(V)}(X_1, X_2, X_3) = \frac{1}{6} (X_1^3 + 3X_1X_2 + 2X_3)$$

Nach dem Satz von Polya:

$$Z_{S_3, \mathcal{P}_2(V)}(Y_1 + Y_2, Y_1^2 + Y_2^2, Y_1^3 + Y_2^3)$$

$$= \dots = Y_1^3 + Y_1^2 Y_2 + Y_1 Y_2^2 + Y_2^3$$



Die Zyklerreihen lassen sich allgemein angeben,
dies gibt allerdings keine „schöne“ Formel.

Zur Übung:

$$Z_{S_4, \mathcal{P}_2([4])}(X_1, \dots, X_6) = \frac{1}{24} (X_1^6 + 9X_1^2X_2^2 + 8X_3^2 + 6X_2X_4)$$